

EXPERIMENTELLE MECHANIK

Kapitel 6

Kontinuumsmechanik

(Grundbegriffe der Elasto- und Fluidmechanik)

6.1. Aggregatzustände

6.2. Elastomechanik

6.3. Hydro- und Aerostatik

6.4. Hydro- und Aerodynamik

6.1.1 Mikroskopische Kräfte

Mikroskopische statische Kräfte:

- **Kohäsion:** Anziehende Kräfte innerhalb eines Stoffs durch die Wechselwirkung gleicher Teilchen miteinander.

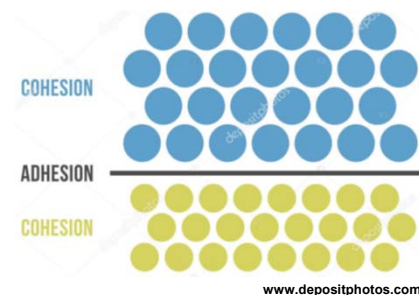
Verantwortlich für:

- Zusammenhalt eines Stoffes (Tropfen, Pfützen etc.)
- Bildung glatter Flüssigkeitsoberflächen

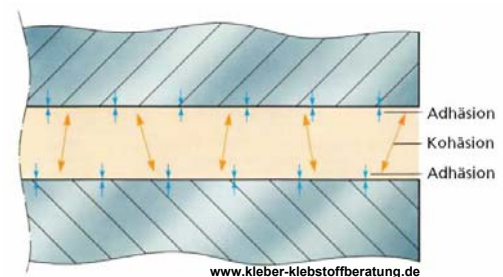
- **Adhäsion:** Anziehende Kräfte von Teilchen eines Stoffs mit jenen eines anderen, benachbarten Stoffs.

Verantwortlich für:

- Benetzung einer Oberfläche mit Flüssigkeit
- Verbindung mittels Klebstoff



www.depositphotos.com

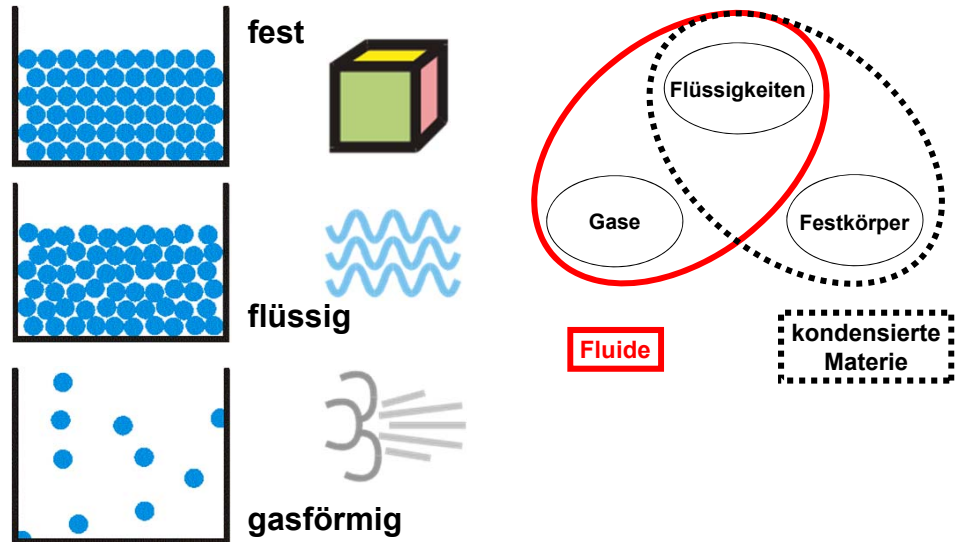


www.kleber-klebstoffberatung.de

6.1.1 atomistische Betrachtung der Aggregatzustände



Erscheinungsformen ausgedehnter Körper



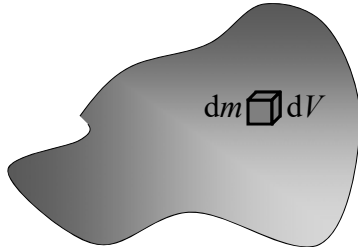
6.1.1 atomistische Betrachtung der Aggregatzustände



Mikroskopische Gestalt

Festkörper	Flüssigkeit	Gas
<ul style="list-style-type: none">• Feste Bindungskräfte zwischen allen Atomen• Dicht gepackt• Feste Positionen• Bewegung: Oszillationen	<ul style="list-style-type: none">• Lose atomare Kräfte („van-der Waals-Kräfte“)• Dicht gepackt• Teilchen bewegen sich durch das Medium• Sehr viele Teilchenstöße	<ul style="list-style-type: none">• (Fast) keine Kräfte• Sehr dünn gepackt• Teilchen bewegen sich durch das Medium• Kontakt nur durch Teilchenstöße

6.1.2 Wichtige Größen: Die Dichte ρ



Lokale Dichte: $\rho(\vec{r}) = \frac{dm}{dV}$

Wenn der Körper homogen ist:

Globale Dichte: $\rho = \frac{M}{V}$

„Dichte ist Masse pro Volumen“

Dimension der Dichte:

Masse / Volumen = Masse / Länge³

SI-Einheit der Dichte:

1 kg/m³

(alt: 1 g/cm³ = 1000 kg/m³)

Beispiele:

Luft	1,3 kg/m ³
Wasser	1 000 kg/m ³
Blei	11 000 kg/m ³
Gold, Uran	19 000 kg/m ³

6.1.2 Wichtige Größen: Die spezifische Wärmekapazität c

Wärmezufuhr zu einem Medium führt in der Regel
zu Temperaturerhöhung:

Zusammenhang: $\Delta Q = c \cdot m \cdot \Delta T$

\nearrow spezifische Wärmekapazität
 \nwarrow Masse

Wärmezufuhr ΔQ (= thermische Energie)
führt zu Temperaturerhöhung ΔT

Definition: Die spezifische Wärmekapazität c eines Stoffes bezeichnet jene Wärmemenge ΔQ , die $m = 1$ kg dieses Stoffes zugeführt werden muss, um dessen Temperatur um $\Delta T = 1$ K zu erhöhen.

Verwendung:

- Wie viel Energie ist notwendig, um eine bestimmte Stoffmenge auf eine best. Temperatur zu erwärmen?
- Um wie viel steigt die Temperatur eines Körpers, wenn eine bestimmte Wärmemenge zugeführt wird?

6.1.2 Wichtige Größen: Thermische Längenausdehnung

Festkörper dehnen sich aus, wenn die Temperatur steigt

Bei Festkörpern ist die relative Längenänderung $\Delta L/L$ proportional zur Temperaturänderung:

$$\frac{\Delta L}{L} = \alpha \cdot \Delta T \rightarrow \Delta L = \alpha \cdot L(T_0) \cdot \Delta T \quad L(T_0 + \Delta T) = L(T_0) \cdot (1 + \alpha \cdot \Delta T)$$

Die Konstante α heißt Längenausdehnungskoeffizient

$$\alpha = \frac{dl}{l} \cdot \frac{1}{dT} \quad [\alpha] = 1/K$$

Meist ist $\alpha > 0$, ganz selten aber auch $\alpha < 0$
(dann zieht sich der Körper bei zunehmender
Temperatur zusammen).

Beispiele für α ($10^{-6} / K$) bei $20^\circ C$:

NaCl	40
Aluminium	23,2
Kupfer	16,5
Beton	10
Glas	7
Zerodur	0,02 ($0^\circ C - 50^\circ C$)
Kohlenstofffasern	-0,5

6.1.2 Wichtige Größen: Thermische Längenausdehnung

Festkörper dehnen sich aus, wenn die Temperatur steigt

Beispiel: Längenausdehnung einer Brücke

Länge $L = 100 \text{ m}$,
Temperaturbereich $\Delta T = 50 \text{ K}$
Koeffizient $\alpha = 10 \cdot 10^{-6} / K$

Längenvariation $\Delta L = \alpha \cdot L \cdot \Delta T$

$$\rightarrow \Delta L = 5 \text{ cm}$$

Dehnungsfuge



6.1.2 Wichtige Größen: Thermische Volumsausdehnung

Bei Fluiden ist die **relative Volumsänderung** $\Delta V / V$ proportional zur Temperaturänderung ΔT :

$$\frac{\Delta V}{V} = \gamma \cdot \Delta T \quad \rightarrow \quad \Delta V = \gamma \cdot V(T_0) \cdot \Delta T \quad V(T_0 + \Delta T) = V(T_0) \cdot (1 + \gamma \cdot \Delta T)$$

γ heißt **Volumsausdehnungskoeffizient** ($[\gamma] = 1/K$)

Der Koeffizient γ für verschiedene Flüssigkeiten:

Material	$\gamma [10^{-6} / K]$ bei 20 °C
Quecksilber	180
Wasser	210
Ethylen	1100
Gase	3661

($p = \text{const}, T = 0^\circ\text{C}$)

Bei Festkörpern gilt: $\gamma = 3 \cdot \alpha$

6.2.1 Dehnung

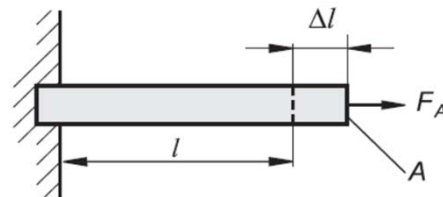
Verlängerung durch eine Kraft senkrecht zur Oberfläche

Zugspannung

$$\sigma = \frac{F_A}{A} \quad [\sigma] = \text{N/m}^2$$

Relative Längenänderung („Dehnung“)

$$\varepsilon = \frac{\Delta l}{l} \quad [\varepsilon] = 1 \text{ (Prozent)}$$



Für kleine Dehnung: Linearer Zusammenhang:

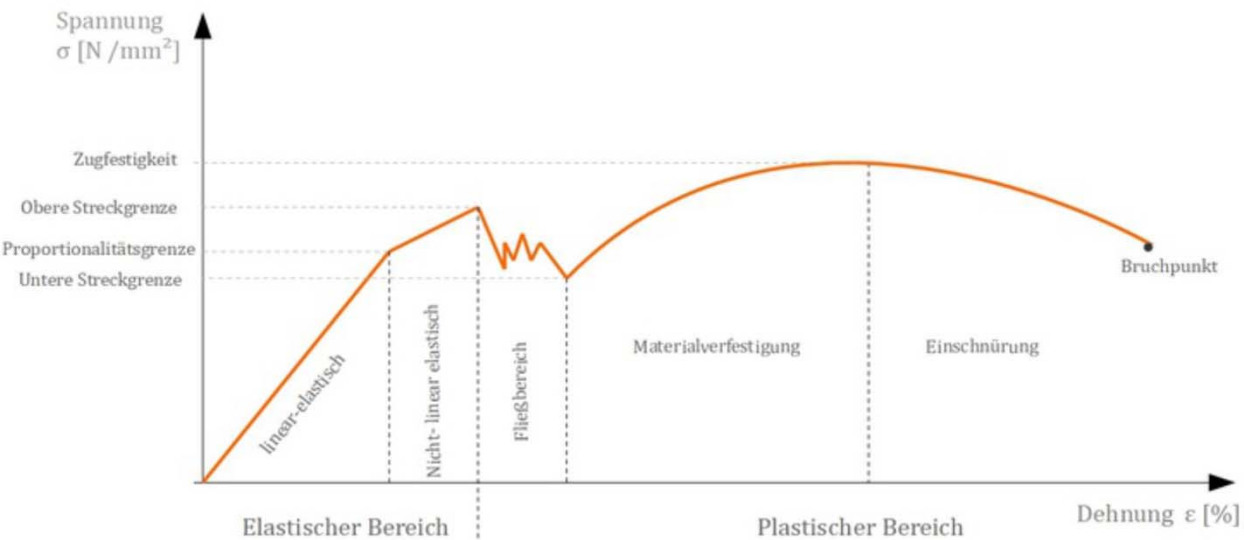
$$\sigma = E \cdot \varepsilon \quad E: \text{Elastizitätsmodul}$$

(Hookesches Gesetz) $[E] = \text{N/m}^2$

Werte:

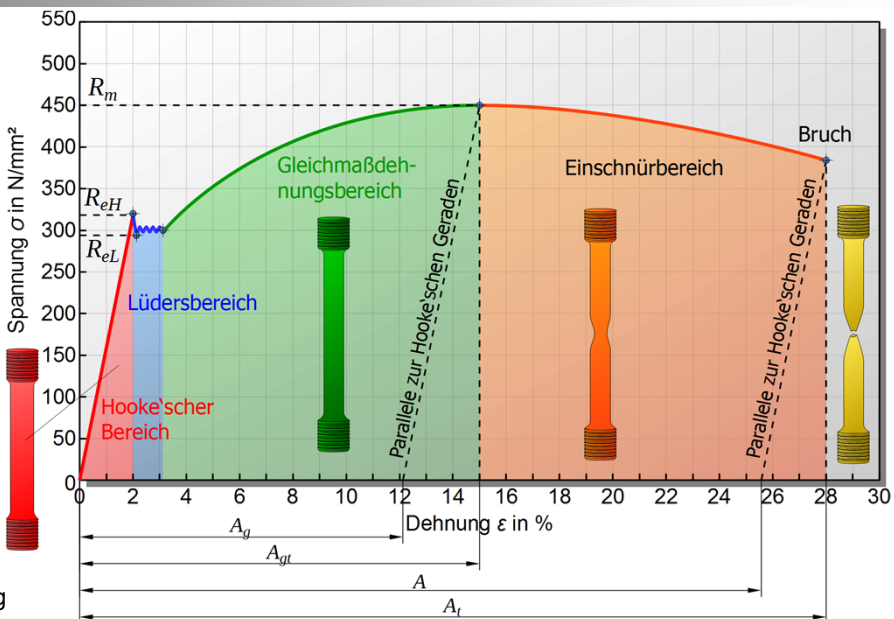
Diamant:	$E = 800 \text{ kN/mm}^2$
Eisen, Stahl:	200
Glas:	70
Beton:	25
Holz:	12
Gummi	0,5

6.2.1 Spannungs-Dehnungs-Diagramm



Schematische Darstellung für Kupfer

6.2.1 Spannungs-Dehnungs-Diagramm



Schematische Darstellung

6.2.1 Querkontraktion



Querkontraktion bei Dehnung

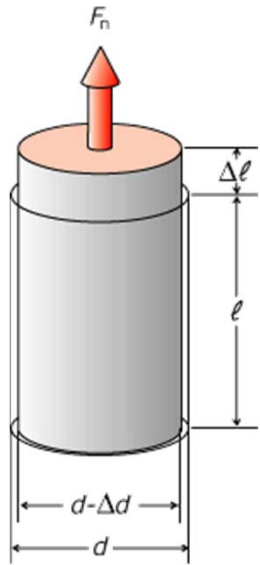
Poisson-Zahl:

$$\nu = - \frac{\Delta d / d}{\Delta l / l} \quad [\nu] = 1$$

Relative Volumenänderung bei Dehnung

$$\frac{\Delta V}{V} = (1 - 2 \cdot \nu) \cdot \frac{\Delta l}{l}$$

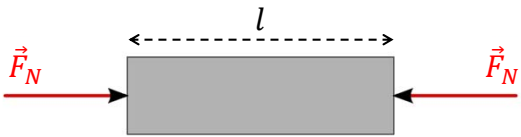
Werte:	Kork:	$\nu = 0,00$	Bei Dehnung: V nimmt zu V bleibt gleich V nimmt ab
	Beton:	0,20	
	Stahl:	0,28	
	Kupfer:	0,35	
	Gummi:	0,50	
	Holz:	0,04 – 0,67	



6.2.1 Stauchung



Verkürzung durch eine Kraft senkrecht zur Oberfläche



Druckspannung

$$\sigma_D = \frac{F_N}{A} \quad (\sigma_D < 0)$$

Relative Verkürzung („Stauchung“)

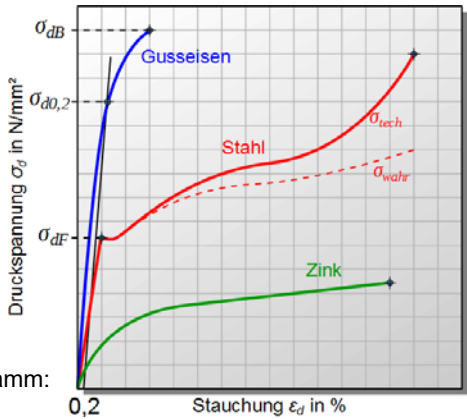
$$\varepsilon_D = \frac{\Delta l}{l} < 0$$

Für kleine Stauchungen: Proportionalität

$$\sigma_D = E \cdot \varepsilon_D$$

mit E: Elastizitätsmodul
gleich wie für Dehnung

Stauchungsdiagramm:



6.2.1 Stauchung

Verkürzung durch eine Kraft senkrecht zur Oberfläche

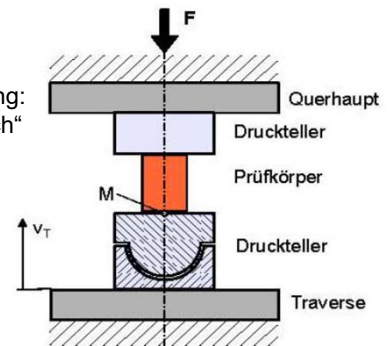
Druckspannung: $\sigma_D = \frac{F_N}{A}$

Stauchung: $\varepsilon_D = \frac{\Delta l}{l} < 0$

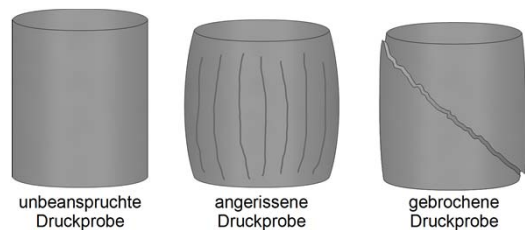


Eine gestauchte Probe wird inhomogen deformiert

Materialprüfung:
„Druckversuch“



Verlauf eines
„Druckversuchs“:



6.2.2 Biegung

Beispiel: Einseitig eingespannter Stab:

Mitte: „Neutrale Faser“ (konstante Länge)

Oben: Zugspannung (Verlängerung)

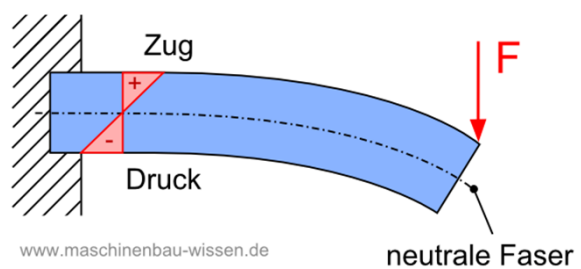
Unten: Druckspannung (Verkürzung)

Biegemoment: $M_b(x) = F \cdot (L - x)$

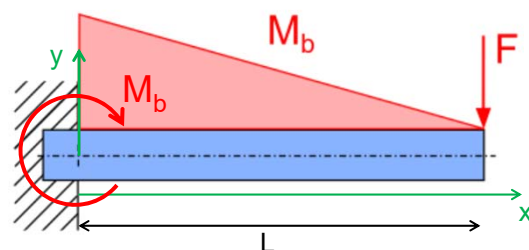
maximal: $M_b = F \cdot L$

Biegespannung: $\sigma_b(y) = \frac{M_b}{I_h} \cdot y$

mit „Flächenträgheitsmoment“ I_h
(Maß für Biegesteifigkeit)



www.maschinenbau-wissen.de



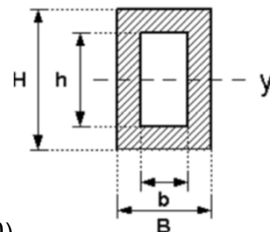
6.2.2 Biegung

Biegung: Flächenträgheitsmomente

Rechteck-Rohr:

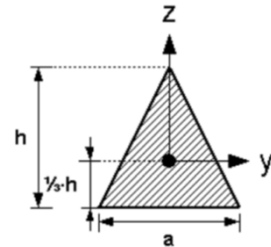
$$I_h = \frac{1}{12} \cdot (B \cdot H^3 - b \cdot h^3)$$

(volles Rechteck: $b = h = 0$)



Dreieck-Profil:

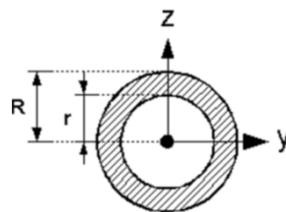
$$I_h = \frac{1}{36} \cdot (a \cdot h^3)$$



Kreis-Rohr:

$$I_h = \frac{\pi}{4} \cdot (R^4 - r^4)$$

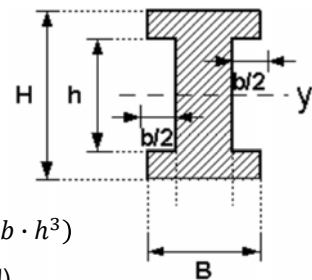
(Vollkreis: $r = 0$)



I-Träger-Profil:

$$I_h = \frac{1}{12} \cdot (B \cdot H^3 - b \cdot h^3)$$

(wie Rechteck-Rohr!)



6.2.2 Biegung

Beispiel: Einseitig eingespannter Stab:

Mitte: „Neutrale Faser“ (konstante Länge)

Oben: Zugspannung (Verlängerung)

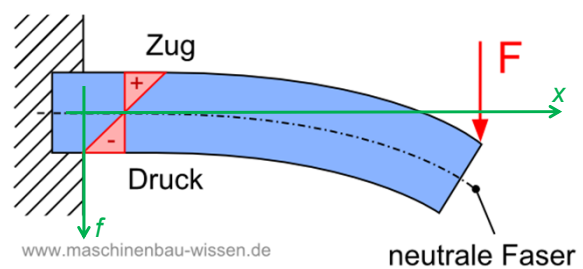
Unten: Druckspannung (Verkürzung)

Biegemoment: $M_b(x) = F \cdot (L - x)$

maximal: $M_b = F \cdot L$

Biegespannung: $\sigma_b(y) = \frac{M_b}{I_h} \cdot y$

mit „Flächenträgheitsmoment“ I_h
(Maß für Biegesteifigkeit)



Durchbiegung:

$$f(x) = \frac{F}{E \cdot I_h} \cdot \left(\frac{L \cdot x^2}{2} - \frac{x^3}{6} \right)$$

Am Ende: $f(L) = \frac{F}{E \cdot I_h} \cdot \frac{L^3}{3}$

6.2.2 Biegung

Beispiel: Zweiseitig aufliegender Stab:

Mitte: „Neutrale Faser“ (konstante Länge)

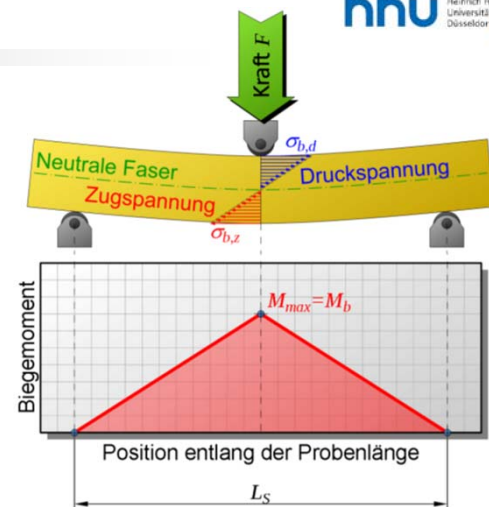
Oben: Druckspannung (Verkürzung)

Unten: Zugspannung (Verlängerung)

Max. Biegemoment: $M_{max} = \frac{F}{2} \cdot \frac{L_S}{2}$

Biegespannung: $\sigma_b(y) = \frac{M_b}{I_h} \cdot y$

Durchbiegung in der Mitte: $f(L_S/2) = \frac{F}{E \cdot I_h} \cdot \frac{L_S^3}{48}$



6.2.3 Scherung

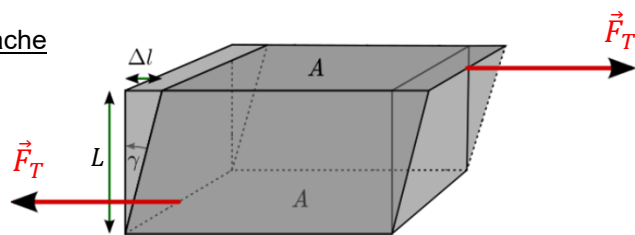
Verformung durch eine Kraft parallel zur Oberfläche

Scherspannung $\tau = \frac{F_T}{A}$ $[\tau] = \text{N/m}^2$

Verkipfung („Scherung“)

$$\gamma \approx \tan \gamma = \frac{\Delta l}{L}$$

Δl ← Horizontale Deformation
 L ← Vertikale Länge



Im elastischen Bereich:

$$\tau = G \cdot \gamma \quad \text{mit } G: \text{ Schubmodul} \quad G = \frac{E}{2 \cdot (1 + \nu)}$$

6.2.3 Torsion

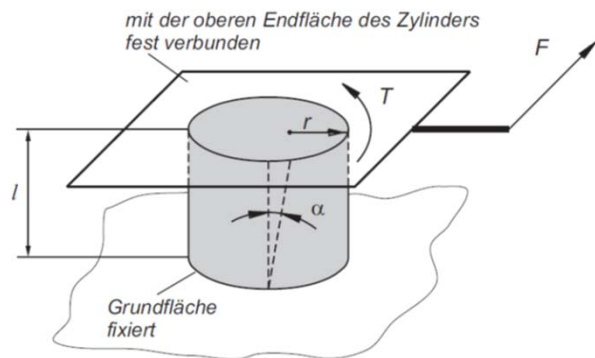
Verdrehung durch Drehmoment in den Oberflächen

Elastische Torsion

$$D = -\kappa \cdot \varphi$$

Richtmoment:

$$\kappa = \frac{\pi}{2} \cdot G \cdot \frac{r^4}{l} \quad [\kappa] = \text{Nm}$$



6.3.1 Der Druck p

Definition: Wirkt auf eine Fläche A die Kraft F , dann nennt man die Größe $p = \frac{F}{A}$ den auf diese Fläche wirkenden **Druck**.

Dies gilt ganz allgemein, für alle Aggregatzustände und Situationen.

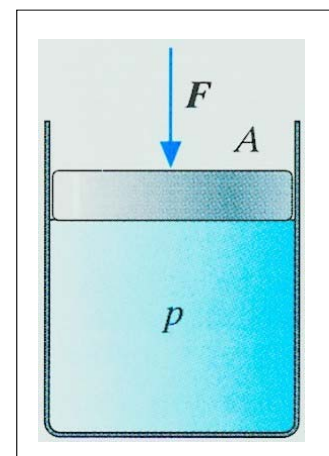
Dimension des Drucks: **Kraft / Fläche**

SI-Einheit des Drucks: **1 Pa = 1 N/m² = 1 kg/(m·s²) (Pascal)**

Wirkt auf eine Fläche von $A = 1 \text{ m}^2$ eine Kraft von $F = 1 \text{ N}$, dann beträgt der Druck $p = 1 \text{ Pa}$
1 Pa ist eine kleine Einheit!



Blaise Pascal
(1623 – 1662)

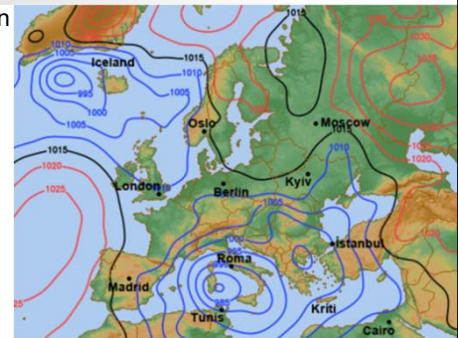


6.3.1 Der Druck p

„Wetterkarte“: Isobaren

Weitere gebräuchliche Einheiten

1 bar („Bar“)	= 10^5 Pa = 100 000 Pa
1 mbar	= 100 Pa = 1 hPa („Hektopascal“)
1 torr	= 133,32 Pa (→ 760 torr = 1 bar)
1 atm	= 1013,25 mbar („Atmosphäre“)
	= 760 torr (Standardluftdruck)
„1 mm Hg“	= 1 torr = 133,32 Pa
„1 mm H ₂ O“	= 9,807 Pa



www.wetteronline.de



Anzeige eines
Blutdruckmessers



Anzeigeeinheit für einen
Hochdruck-Durchflussregler

6.3.1 Der Druck p

Der Druck eines Gases gibt die **mechanische Energiedichte** w an, die darin gespeichert ist.

Dimension:

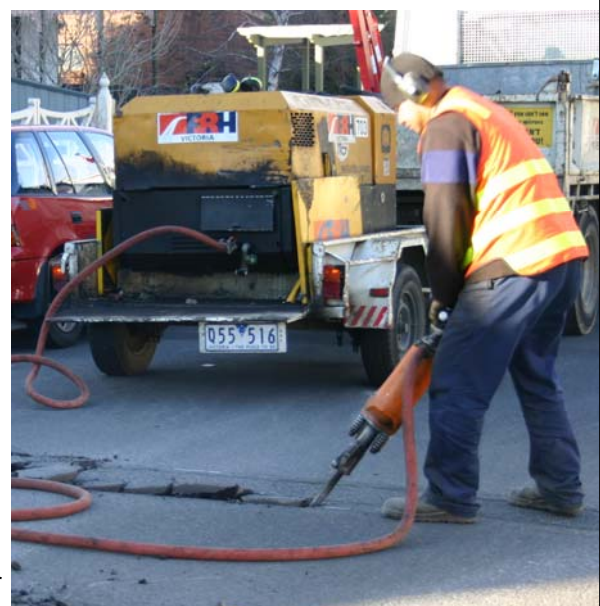
$$E\text{-dichte} = \frac{\text{Energie}}{\text{Volumen}} = \frac{\text{Kraft} \cdot \text{Weg}}{\text{Fläche} \cdot \text{Länge}} = \frac{\text{Kraft}}{\text{Fläche}} = \text{Druck}$$

Einheit:

$$[w] = 1 \text{ J} / \text{m}^3 = 1 \text{ kg} / (\text{m} \cdot \text{s}^2) = 1 \text{ Pa} = [p]$$

In vielen technischen Anwendungen wird ein großer Teil dieser Energiedichte genutzt

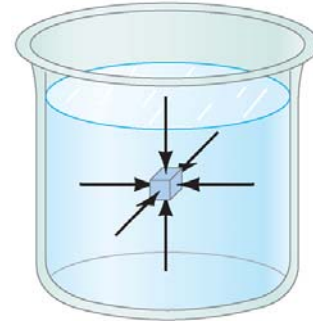
Beispiel: Drucklufthammer



6.3.1 Der Druck p

Isotropie des Drucks:

- Der Druck ist ein Skalar und kein Vektor
- Der Druck hat keine Richtung
- Der Druck auf ein kleines Volumenelement ist von allen Seiten gleich.
- Druck in ruhenden Flüssigkeiten und Gasen:
Auf jede Fläche wirkt eine Kraft und eine gleich große Gegenkraft.

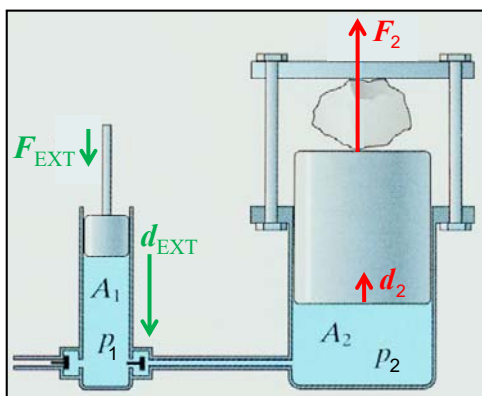


„Allseitige Gleichheit des Drucks“:

Der Druck im Inneren eines Gefäßes und an den Grenzflächen ist überall gleich groß, unabhängig von der Form des Gefäßes (abgesehen vom Schwerdruck).

6.3.1 Der Druck p

Anwendung der Druck-Isotropie: Hydraulische Presse



Druck: $p_1 = p_2 \rightarrow \frac{F_{\text{EXT}}}{A_1} = \frac{F_2}{A_2}$

\Rightarrow Kraftverstärkung $F_2 = \frac{A_2}{A_1} \cdot F_{\text{EXT}} \gg F_{\text{EXT}}$

Arbeit: $W = F_{\text{EXT}} \cdot d_{\text{EXT}} = p \cdot \Delta V$ (Volumen gegen Druck komprimieren)

Energieerhaltung: $F_{\text{EXT}} \cdot d_{\text{EXT}} = F_2 \cdot d_2$

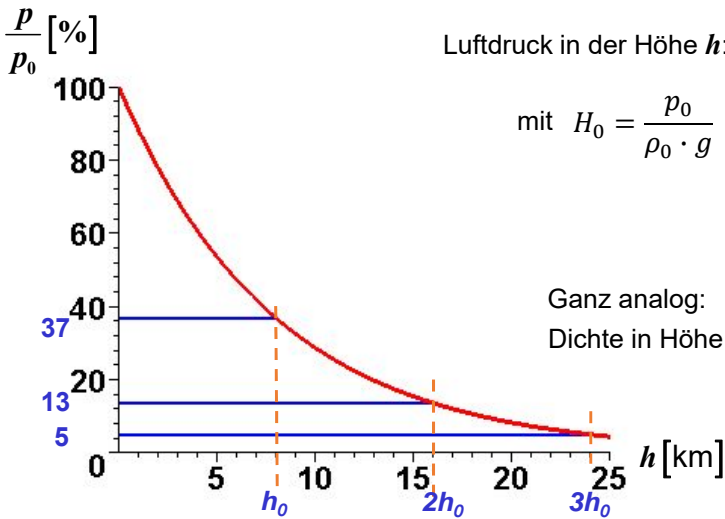
$\Rightarrow d_2 = \frac{A_1}{A_2} \cdot d_{\text{EXT}} \ll d_{\text{EXT}}$

Prinzip: **kleine Kraft** auf **langem Weg** bewirkt **große Kraft** auf **kurzem Weg**

6.3.2 Der Schweredruck von Gasen



Die barometrische Höhenformel



Luftdruck in der Höhe h : $p(h) = p_0 \cdot e^{-(h/H_0)}$

mit $H_0 = \frac{p_0}{\rho_0 \cdot g} = 7995 \text{ m}$ $p_0 = 101\,325 \text{ Pa}$,
 $\rho_0 = 1,292 \text{ kg/m}^3$ (0°C)
 $= 8580 \text{ m}$ $\rho_0 = 1,204 \text{ kg/m}^3$ (20°C)

Ganz analog:
Dichte in Höhe h : $\rho(h) = \rho_0 \cdot e^{-(h/H_0)}$

6.3.2 Der Schweredruck von Gasen

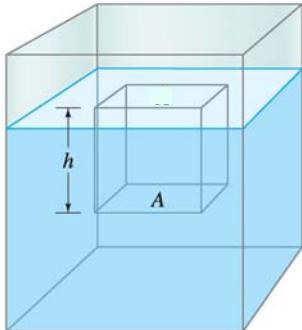


Luftdruck und Vakuum

Die „Magdeburger Halbkugeln“ (Otto von Guericke, 1657)



6.3.2 Der Schweredruck von Flüssigkeiten



Druck in einer Tiefe h :

Masse des Wassers darüber: $m = \rho \cdot V = \rho \cdot A \cdot h$

Gewichtskraft: $F_g(h) = m \cdot g$

Druck auf die Fläche A : $p_g = \frac{F_g}{A} = \frac{m \cdot g}{A} = \frac{\rho \cdot A \cdot h \cdot g}{A}$

Schweredruck
einer Flüssigkeit

$p_g = \rho \cdot g \cdot h$

Der Schweredruck ...

Bsp.: Wassersäule, 10 m hoch:

$p_g(10\text{ m}) = 1000\text{ kg/m}^3 \cdot 9,81\text{ m/s}^2 \cdot 10\text{ m}$
 $\approx 10^5\text{ Pa} = 1\text{ bar (Standard-Luftdruck)}$

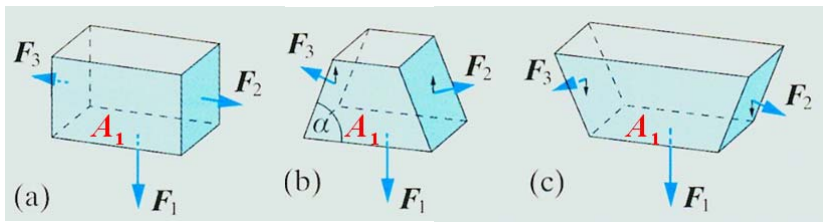
... wirkt nach allen Seiten gleich

... nimmt linear mit der Tiefe zu

6.3.2 Der Schweredruck von Flüssigkeiten



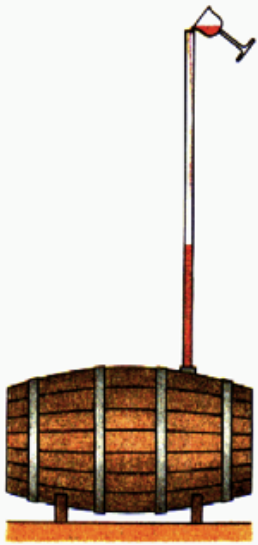
Das „hydrostatische Paradoxon“:



Der Druck auf den Gefäßboden $p_g = \rho \cdot g \cdot h$

- ist abhängig von
- Höhe h der Wassersäule
 - Dichte ρ der Flüssigkeit
 - Erdbeschleunigung g ,

- unabhängig von
- Form des Gefäßes

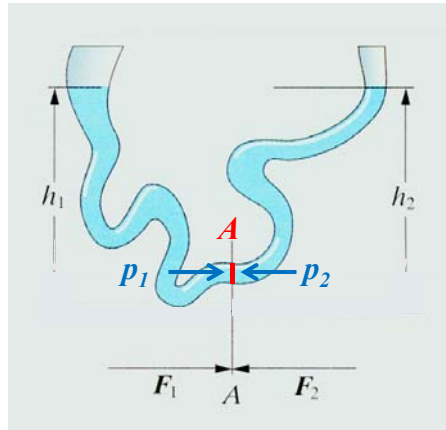


B. Pascal, 1648: Weinfass platzt durch Kapillare>

6.3.2 Der Schweredruck von Flüssigkeiten



„Kommunizierende Röhren“:



Gleichgewicht nur, wenn an jeder Querschnittsfläche **A** Druck von beiden Seiten identisch:

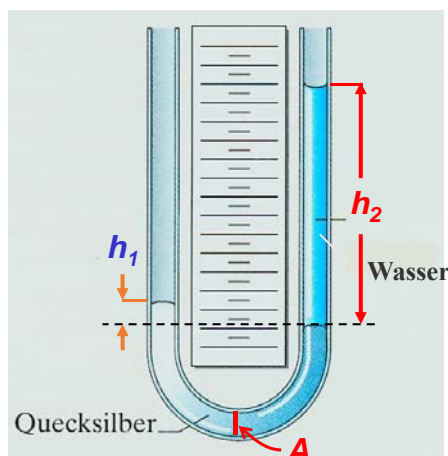
$$p_1 = p_2 \Rightarrow h_1 = h_2$$

Beide Schenkel sind gleich hoch gefüllt !

6.3.2 Der Schweredruck von Flüssigkeiten



„Kommunizierende Röhren“:



Unterschiedliche, nicht-mischende Flüssigkeiten:

U-Rohr-Schenkel im Kräfte-Gleichgewicht,

$$\text{wenn } F_{g,1} = F_{g,2}$$

$$A \cdot p_1 = A \cdot p_2$$

$$A \cdot h_1 \cdot \rho_1 \cdot g = A \cdot h_2 \cdot \rho_2 \cdot g$$

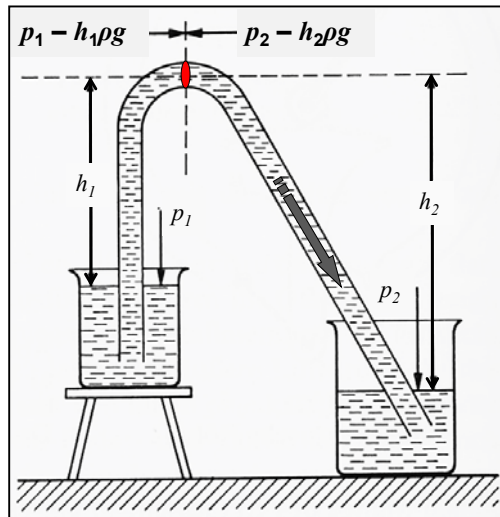
$$h_1 \cdot \rho_1 = h_2 \cdot \rho_2$$

z.B. Dichtebestimmung:

$$\rho_{\text{LEICHT}} = \frac{h_{\text{SCHWER}}}{h_{\text{LEICHT}}} \cdot \rho_{\text{SCHWER}}$$

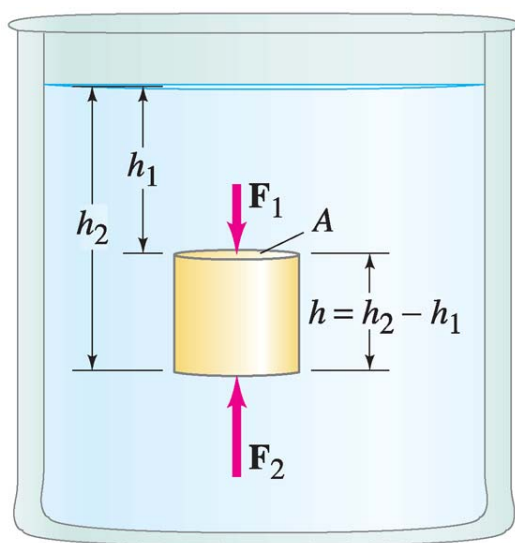
6.3.2 Der Schweredruck von Flüssigkeiten

„Wie entleert man ein Aquarium?“



1. $p_1 \approx p_2 = p$
Luftdruckänderung über Höhe $h_2 - h_1$ ist vernachlässigbar.
2. Druck an der „Grenzfläche“ (rot):
links: $p_{\text{links}} = p_1 - h_1 \rho g$
rechts: $p_{\text{rechts}} = p_2 - h_2 \rho g$
 $p_{\text{links}} > p_{\text{rechts}} \Rightarrow$ Wasser fließt aus

6.3.3 Auftrieb



Kraft auf die obere Fläche:

$$F_1 = -p_1 \cdot A \quad p_1 = \rho \cdot g \cdot h_1$$

$$F_1 = -\rho \cdot g \cdot h_1 \cdot A$$

• Kraft auf die untere Fläche:

$$F_2 = +\rho \cdot g \cdot h_2 \cdot A$$

• Gesamtkraft auf den Körper:

$$F_{\text{ges}} = F_g + F_1 + F_2$$

$$= -g \cdot M + g \cdot \rho \cdot (h_2 - h_1) \cdot A$$

$$= -g \cdot (M - M_{\text{FL}})$$

Archimedisches Prinzip:

Die auftriebende Kraft (der Auftrieb) entspricht der Gewichtskraft des verdrängten Fluids.

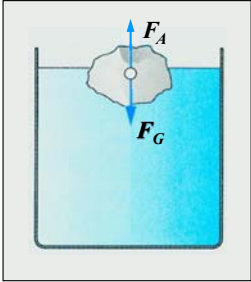
$$F_A = \rho_{\text{FL}} \cdot V_K \cdot g$$

6.3.3 Auftrieb

hhu

Heinrich Heine
Universität
Düsseldorf

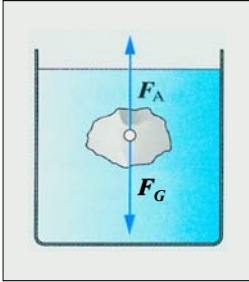
Schwimmen:



mittlere Dichte!
→ $\rho_{\text{KÖRPER}} < \rho_{\text{FL}}$

Körper taucht ein, bis Gewichtskraft des verdrängten Fluids der eigenen Gewichtskraft entspricht

Schweben:



mittlere Dichte!
→ $\rho_{\text{KÖRPER}} = \rho_{\text{FL}}$

Körper besitzt gleiche *mittlere* Dichte wie Fluid.

$F_A = -F_G$

6.3.3 Auftrieb

hhu


Heinrich Heine
Universität
Düsseldorf

Schwimmen:


Im Gleichgewicht gilt immer:

$F_A = -F_g$


Passagierschiff mit viel Hohlraum hat eine geringe Dichte



Totes Meer: Salz im Wasser erhöht die Dichte ρ_{FL} und damit den Auftrieb
→ weniger Volumen V nötig, um F_g zu kompensieren



$F_A = \rho_{\text{FL}} \cdot V \cdot g = -F_g$



Beladenes Lastschiff: Hohe Dichte

Prof. Georg Pretzler, HHU Düsseldorf

18

6.3.4 Druckmessung

„Dosenbarometer“

Flexible Kammer

offenes Manometer

p_0

h

p
(gemessener Druck)

Piezo-Druckmesser

einwirkende Kraft

U

Reifendruckmesser

Atmosphären-druck

Ablese-wert

Feder

Luftdruck im Reifen

6.3.4 Druckmessung

Manometer: (a) absolut

$p_2 = 0$ (Vakuum)

p

h

Messung des Drucks p durch Vergleich mit Vakuum ($p_2 = 0$).
 p kann auch der Luftdruck sein.

(b) differenziell

$p_2 > 0$ (offen)

p_1

h

Messung des Drucks p_1 durch Vergleich mit dem Luftdruck p_2

Ergebnis: Druckdifferenz

bekannt? $p_1 - p_2 = \rho \cdot g \cdot h$

Messgröße h

Konstante g

Materialkonstante ρ

6.3.4 Druckmessung

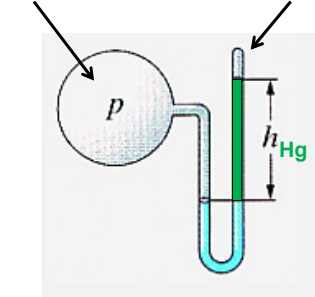


Barometer: Luftdruckmessung

Messflüssigkeit **Wasser** (H₂O):

$p = \rho_{\text{H}_2\text{O}} \cdot g \cdot h_{\text{Hg}}$

Luftdruck $p_2 = 0$ (Vakuum)



Messflüssigkeit **Quecksilber** (Hg):

$p = \rho_{\text{Hg}} \cdot g \cdot h_{\text{Hg}}$

$h_{\text{Hg}} = \frac{p}{\rho_{\text{Hg}} \cdot g}$

$g = 9,81 \text{ m/s}^2$

$\rho_{\text{Hg}} = 13\,593 \text{ kg/m}^3$

Messung des Drucks p durch Schweredruck einer Flüssigkeit

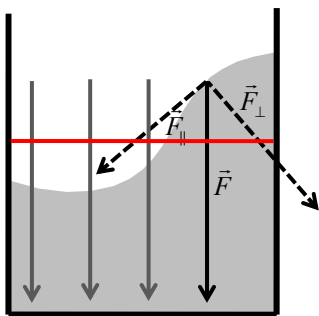
$h_{\text{Hg}}(p = 1013 \text{ mbar}) = 760 \text{ mm}$

$h_{\text{H}_2\text{O}}(p = 1013 \text{ mbar}) = 10,33 \text{ m}$



Historisches Wasserbarometer

6.3.5 Flüssigkeitsoberflächen



Wirken Kraftkomponenten parallel zur Flüssigkeitsoberfläche, werden Teilchen verschoben.

→ „Form“ der Flüssigkeit ist erst dann im Gleichgewicht, wenn die Oberfläche überall senkrecht auf die örtlich wirkende Kraft steht.

Oberfläche
rotierende Flüssigkeit

Gesamte Kraft

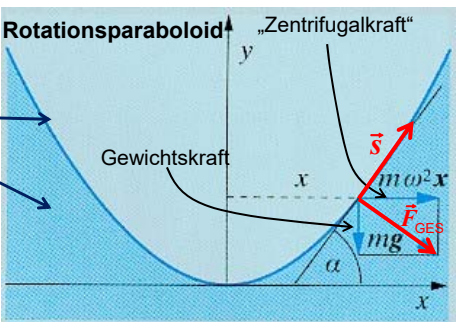
$\vec{F}_{\text{GES}} = \begin{pmatrix} m\omega^2 x \\ -mg \end{pmatrix}$

Vektor in Richtung der Oberfläche (es muss gelten: $\vec{F} \cdot \vec{s} = 0$): $\vec{s} = \begin{pmatrix} g \\ \omega^2 x \end{pmatrix}$

Oberfläche beschrieben durch Funktion $y = f(x)$

Steigung ist bekannt: $f'(x) = \frac{s_y}{s_x} = \frac{g}{\omega^2 x} \cdot x$

→ $f(x) = y_0 + \frac{1}{2} \frac{\omega^2}{g} \cdot x^2$ (Parabel)



6.3.5 Flüssigkeitsoberflächen

Bei jedem Flüssigkeitsteilchen, das an der Oberfläche liegt, heben sich die Kräfte von den Nachbarn **nicht** auf:

→ Oberflächenteilchen: Größere potentielle Energie.

Flüssigkeit „versucht“, potentielle Energie zu minimieren.

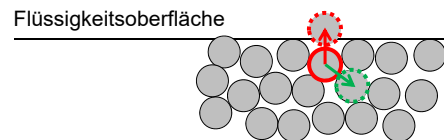
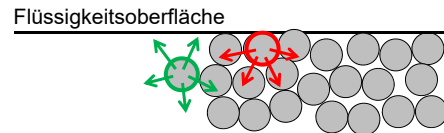
→ Oberfläche wird minimiert.

Teilchen **innerhalb** der Flüssigkeit verschieben:
Von allen Seiten gleich große Anziehungskraft.

→ (fast) keine Arbeit notwendig.

Teilchen **über** die Oberfläche bewegen:
Anziehungskraft muss überwunden werden.

→ Arbeit aufzuwenden.

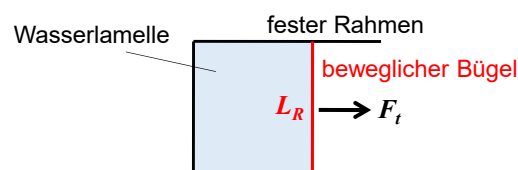


6.3.5 Oberflächenspannung

Definition der Oberflächenspannung:

$$\sigma_o = \frac{F_t}{L_R}$$

F_t ... tangentielle Kraft
 L_R ... Länge des Rands



Dimension: **Kraft / Länge** oder **Masse / Zeit²**

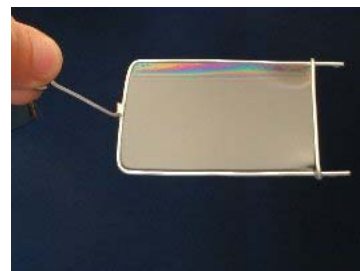
SI-Einheit: **1 N/m = 1 kg/s²**

Beispiele:

Ethanol: $\sigma_o = 0,023 \text{ N/m}$

Wasser: $\sigma_o = 0,073 \text{ N/m}$ (bei $T = 20^\circ\text{C}$)

Quecksilber: $\sigma_o = 0,470 \text{ N/m}$ (bei $T = 20^\circ\text{C}$)



6.3.5 Oberflächenspannung



Bildung von Tropfen:

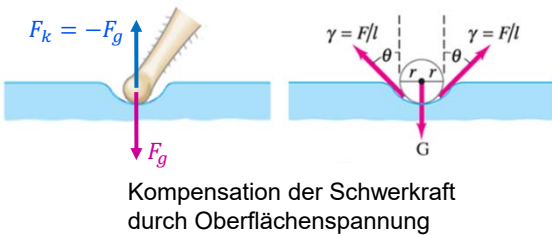
Zusammenwirken von innerer Wechselwirkung und Schwerkraft



Nur innere Kräfte: Kugelform



Wasserläufer



6.3.5 Oberflächenspannung

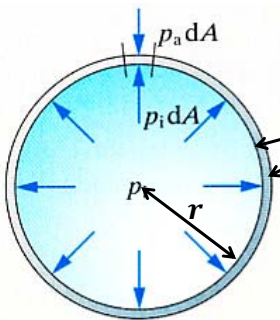


Beispiel: Seifenblasen



Kugelförmige Oberfläche von Seifenblasen als Gleichgewicht zwischen Überdruck (innen) und Oberflächenspannung

- Beim „Aufblasen“:
Arbeit verrichten, um Oberfläche zu vergrößern.
- Oberfläche ist bestrebt, Blasenradius zu verringern
 - Innendruck steigt
 - Kräfte-Gleichgewicht zwischen Innendruck p_i
Außendruck p_a
Oberflächenspannung σ



$$p_i = p_a + 2 \cdot \frac{2\sigma}{r}$$

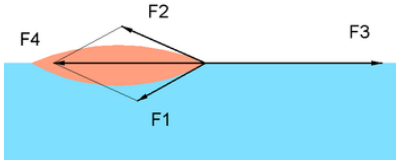
6.3.5 Grenzflächenspannungen



Beispiel: Fettaugen auf Wasser



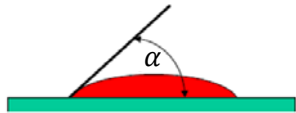
Prinzip: Wechselspiel der Kräfte durch Grenzflächenspannungen



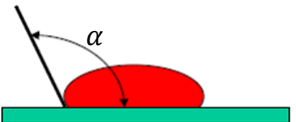
Beispiel: Tropfenform auf Festkörper

Die Benetzungseigenschaften erkennt man am Randwinkel (Kontaktwinkel) α

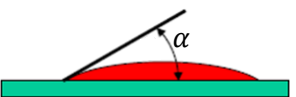
Randwinkel $\alpha > 90^\circ$:
schlechte Benetzung



Randwinkel $\alpha < 90^\circ$:
gute Benetzung



Randwinkel $\alpha = 0^\circ$:
perfekte Benetzung

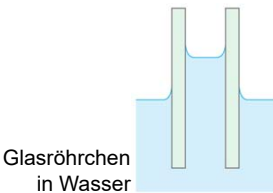
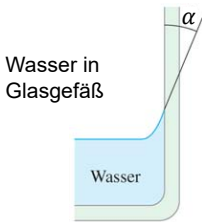


6.3.5 Grenzflächenspannungen

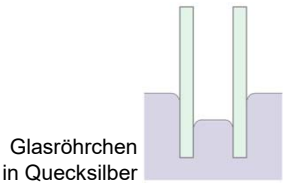
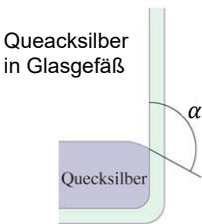


Gut benetzende Flüssigkeiten:

Große Grenzfläche Flüssigkeit – Festkörper ist energetisch günstiger als Grenzfläche Luft – Festkörper



Flüssigkeitsfilm statt Tropfen



Tropfenbildung

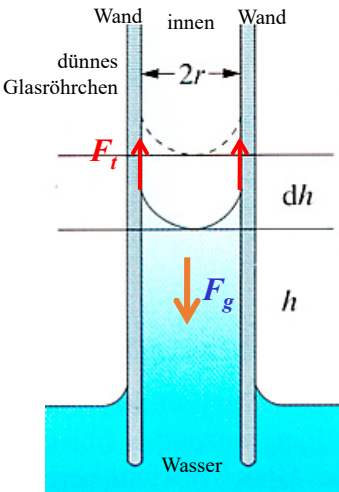
Schlecht benetzende Flüssigkeiten:

Grenzfläche Luft – Festkörper ist aus Sicht der Gesamtenergie günstiger als die Grenzfläche Flüssigkeit – Festkörper

6.3.5 Kapillarität



Kapillaraszension



⇒ Flüssigkeit steigt innen

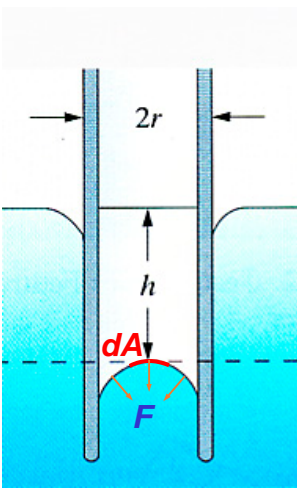
Zwei Effekte spielen zusammen:

- (1) benetzende Flüssigkeit:
Flüssigkeit benetzt die Kapillarwand
- (2) Oberflächenspannung σ verringert Fläche durch Hochziehen von Wasser. Gleichgewicht, wenn Kraft durch σ genau Gewichtskraft kompensiert.

$$h = \frac{2 \cdot \sigma}{r \cdot \rho \cdot g}$$

- (1) Nicht-benetzende Flüssigkeit:
Wandfläche wird von Luft besetzt.
- (2) Oberflächenspannung σ verringert Oberfläche durch Absenken.

Kapillardepression



⇒ Flüssigkeit sinkt innen

6.3.5 Kapillarität



Füllfeder



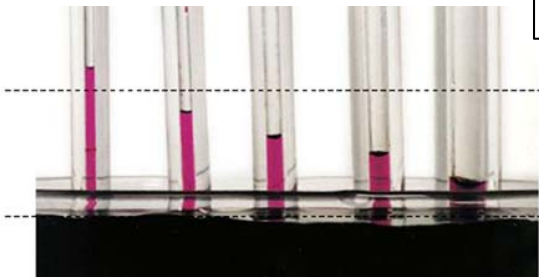
Geschmolzenes Wachs
im Docht



Wasser in Baumkrone
(für Höhen über 10 Meter)



Flüssigkeits-
Chromatographie



$$h = \frac{2 \cdot \sigma}{r \cdot \rho \cdot g}$$

$$h \sim 1/r$$

6.4 Grundlagen der Hydro- und Aerodynamik

Die Fluid-Dynamik beschäftigt sich mit der Bewegung von Fluiden,
also mit der Strömung von Flüssigkeiten und Gasen.

Fragen:

- Welche Kräfte bringen Fluide in Bewegung?
- Welche Bewegungsformen stellen sich ein?

Begriffe:

- **kompressible Fluide:** Volumen (Dichte) kann sich leicht verändern (Gase in Ruhe)
- **inkompressible Fluide:** Volumen (Dichte) bleibt im wesentlichen konstant
(Flüssigkeiten in Ruhe sowie Gase und Flüssigkeiten in Bewegung)
- **ideale Fluide:** intern reibungsfrei: Wechselwirkung zwischen den Teilchen vernachlässigbar
- **viskose Fluide:** Viskosität („innere Reibung“) spielt eine wesentliche Rolle

7.4.1 Grundlagen der Hydro- und Aerodynamik

Die Kontinuitätsgleichung

Situation:

- Inkompressibles Fluid („Flüssigkeit“)
- ohne Quellen und Senken („Abzweigungen“)
- fließt durch ein Rohr, dessen Querschnitt sich ändert

⇒ durch jeden Querschnitt A muss pro Zeit dt
dasselbe Volumen V durchfließen

$$V = V_1 = V_2 \quad \text{mit}$$

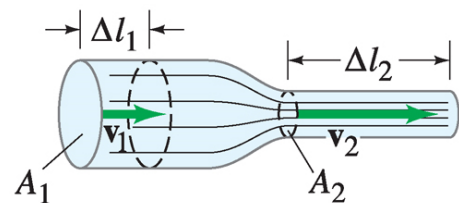
$$V_1 = A_1 \cdot \Delta l_1, \quad V_2 = A_2 \cdot \Delta l_2$$

$$\Delta l_1 = v_1 \cdot dt \quad \Delta l_2 = v_2 \cdot dt$$

$$\Rightarrow A_1 \cdot v_1 \cdot dt = A_2 \cdot v_2 \cdot dt$$

$$\boxed{A_1 \cdot v_1 = A_2 \cdot v_2}$$

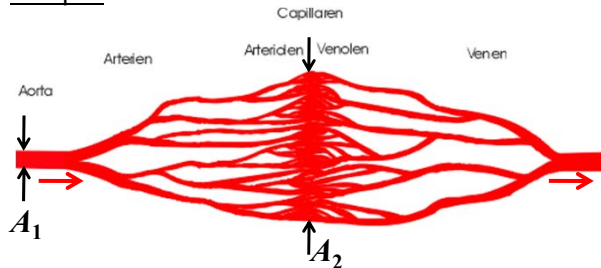
Fazit: Flüssigkeiten fließen
an „Engstellen“ schneller.



7.4.1 Grundlagen der Hydro- und Aerodynamik

Die Kontinuitätsgleichung

Beispiel: Blutkreislauf

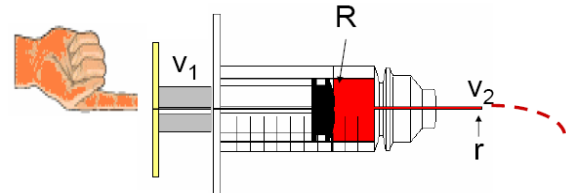


Gesamtquerschnitt A_2 aller Kapillaren zusammen ist wesentlich größer als Querschnitt A_1 der Aorta

⇒ Blut fließt langsam durch Kapillaren (für Diffusion nötig!)

Zahlen: $A_1 \approx 4 \text{ cm}^2$, $A_2 \approx 4000 \text{ cm}^2$,
 $v_1 \approx 0,2 \text{ m/s} \rightarrow v_2 \approx 0,2 \text{ mm/s}$

Beispiel: Spritze



$$v_2 = \frac{R^2}{r^2} \cdot v_1 = \frac{1 \text{ cm}^2}{0.05 \text{ cm}^2} \cdot v_1 = 400 \cdot v_1$$

Trotz geringer Kolbengeschwindigkeit v_1 :
hohe Strömungsgeschw. v_2 an der Öffnung!

$$A_1 \cdot v_1 = A_2 \cdot v_2$$

Fazit: Flüssigkeiten fließen
an „Engstellen“ schneller.

6.4.1 Hydrodynamik idealer Fluide

Strömungen in idealen, inkompressiblen Fluiden

Bedingungen: $\eta = 0$ Ideales Fluid:

Fluid ist nicht-viskos (keine innere Reibung)

$\kappa = 0$ Inkompressibles Fluid:

Diese Annahme gilt für alle Flüssigkeiten und für alle realen Gase,
wenn die Strömungsgeschw. kleiner ist als die Schallgeschwindigkeit

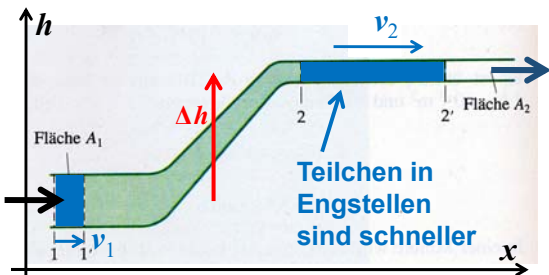
Frage: Welche Strömungen treten auf, wenn die Kräfte der inneren Reibung für
die Bewegung des Fluids vernachlässigbar sind?

Welche Auswirkungen hat eine Strömung auf die Umgebung?

6.4.1 Hydrodynamik idealer Fluide



Beispiel: Energiebetrachtung im Fluid



Frage: Wie ist die Erhaltung der Energie gewährleistet?

(1) **Potentielle Energie** für jedes Teilchen nimmt zu:

$$m \cdot g \cdot h \rightarrow m \cdot g \cdot (h + \Delta h)$$

Übergang von einzelnen Teilchen auf Kontinuum:

Energie → Energiedichte: $E \rightarrow w = E/V$

Masse → Massendichte: $m \rightarrow \rho = m/V$

Potentielle Energiedichte nimmt zu:

$$\rho \cdot g \cdot h \rightarrow \rho \cdot g \cdot (h + \Delta h)$$

(2) **Kinetische Energiedichte** nimmt zu:

Teilchenzahlerhaltung,

Inkompressibilität:

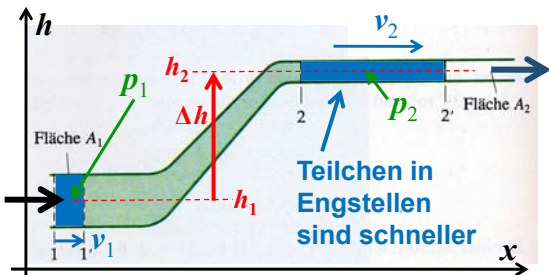
→ Kontinuitätsgleichung $\frac{v_2}{v_1} = \frac{A_1}{A_2} \rightarrow v_2 > v_1$

$$\frac{\rho}{2} \cdot v_1^2 \rightarrow \frac{\rho}{2} \cdot (v_1 + \Delta v)^2$$

6.4.1 Hydrodynamik idealer Fluide



Beispiel: Energiebetrachtung im Fluid



Bernoulli-Gleichung:

$$\frac{\rho \cdot v^2}{2} + \rho \cdot g \cdot h + p_{\text{stat}} = \text{const}$$

(Energieerhaltungssatz für inkompressible ideale Fluide)

Energieerhaltung (hier für Energiedichte w):

$$\Delta w_{\text{kin}} + \Delta w_{\text{pot}} + \Delta w_{\text{druck}} = 0$$

$$\frac{\rho}{2} \cdot (v_2^2 - v_1^2) + \rho \cdot g \cdot (h_2 - h_1) + (p_2 - p_1) = 0$$

$$\frac{\rho \cdot v_2^2}{2} + \rho \cdot g \cdot h_2 + p_2$$

größer

$$=$$

$$\frac{\rho \cdot v_1^2}{2} + \rho \cdot g \cdot h_1 + p_1$$

kleiner

Hier: $p_2 < p_1$

6.4.1 Hydrodynamik idealer Fluide

Die Bernoulli-Gleichung:

$$\frac{\rho \cdot v^2}{2} + \rho \cdot g \cdot h + p_{\text{stat}} = \text{const}$$

„**Staudruck**“
der bewegten Flüssigkeit
(kinet. Energiedichte)

„**Schweredruck**“
der Flüssigkeit im Schwerfeld der Erde
(pot. Energiedichte)

„**statischer Druck**“
Fähigkeit, Kraft auf eine Grenzfläche auszuüben
(innere Energiedichte)

Konstante
kann aus einem beliebigen leicht beschreibbaren Grenzfall ermittelt werden

z.B.:
 $h = 0, v = 0 :$
 $\rightarrow \text{const} = p_0$

6.4.1 Hydrodynamik idealer Fluide

Die Bernoulli-Gleichung

Statischer Druck, Staudruck und Schweredruck in einer strömenden Flüssigkeit

$$\frac{\rho \cdot v^2}{2} + \rho \cdot g \cdot h + p_{\text{stat}} = p_0$$

Konstanter Gesamtdruck:
Kennt man ihn einmal,
dann kennt man ihn überall

Gesamtdruck

Statischer Druck

Staudruck

Schweredruck

$p_{\text{ges}} = p_0 = \text{const}$

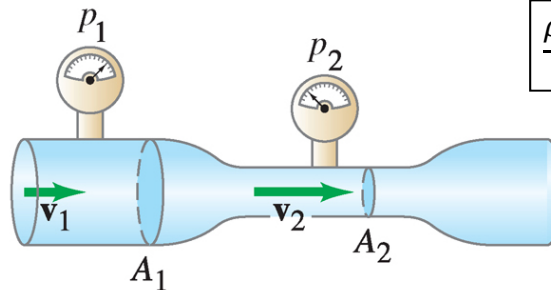
p_{stat}

$p_{\text{stau}} = 1/2 \cdot \rho \cdot v^2$

$p_{\text{schw}} = \rho \cdot g \cdot h$

Einzige Messgröße:
Kraft auf eine Fläche

6.4.1 Hydrodynamik idealer Fluide

Der statische Druck

$$\frac{\rho \cdot v^2}{2} + \rho \cdot g \cdot h + p_{\text{stat}} = p_0$$

Venturimeter misst den statischen Druckabfall $\Delta p_{\text{stat}} = p_1 - p_2$ in der Verengung eines Rohrs

Wenn $h = \text{const}$: Rückschluss auf Geschwindigkeit der Strömung: $\Delta p_{\text{stat}} = -\Delta p_{\text{schw}}$

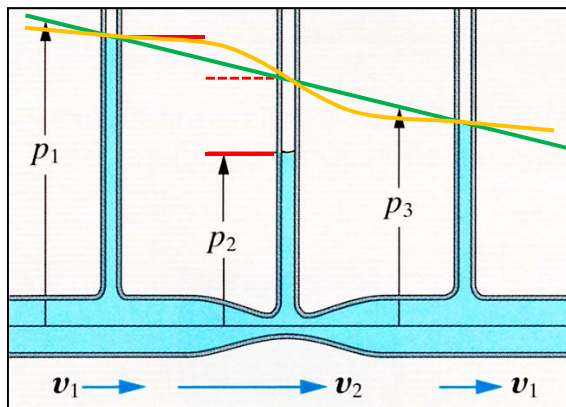
$$\Delta p_{\text{stat}} = \frac{\rho}{2} \cdot (v_2^2 - v_1^2) \quad \text{mit} \quad A_1 \cdot v_1 = A_2 \cdot v_2 \quad \rightarrow \quad v_1 = \sqrt{\frac{2 \cdot \Delta p_{\text{stat}}}{\rho} \cdot \frac{A_2^2}{A_1^2 - A_2^2}}$$

Achtung: Gase sind kompressibel \rightarrow Venturimeter funktioniert für Gase nur näherungsweise.

6.4.1 Hydrodynamik idealer Fluide

Strömung durch kommunizierende Gefäße

Wie erklärt sich unterschiedlicher Flüssigkeitsstand in den Kapillaren?



$$\frac{\rho \cdot v^2}{2} + \rho \cdot g \cdot h + p_{\text{stat}} = p_0$$

Im Rohr: $h = \text{const}$

$$\rightarrow \frac{\rho \cdot v^2}{2} + p_{\text{stat}} = p_0 + \rho \cdot g \cdot h = \text{const}$$

angezeigt: p_1, p_2, p_3 (hydrostatischer Druck)

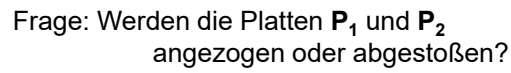
wegen Staudruck in der Engstelle (hohes Tempo):

$$p_2 < p_1 \quad \text{und} \quad p_2 < p_3$$

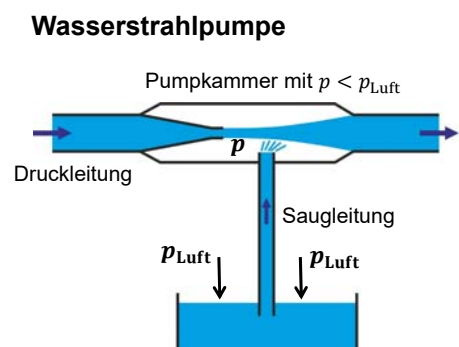
In Wirklichkeit: reale Flüssigkeit, also $\eta \neq 0$

\rightarrow wegen Viskosität: $p_3 < p_1$

Genaue Betrachtung: **komplizierterer Verlauf!**

Heinrich Heine
Universität
Düsseldorf
$$\frac{\rho \cdot v^2}{2} + \rho \cdot g \cdot h + p_{\text{stat}} = p_0$$


- ⇒ Platten \mathbf{P}_1 und \mathbf{P}_2 werden angezogen!

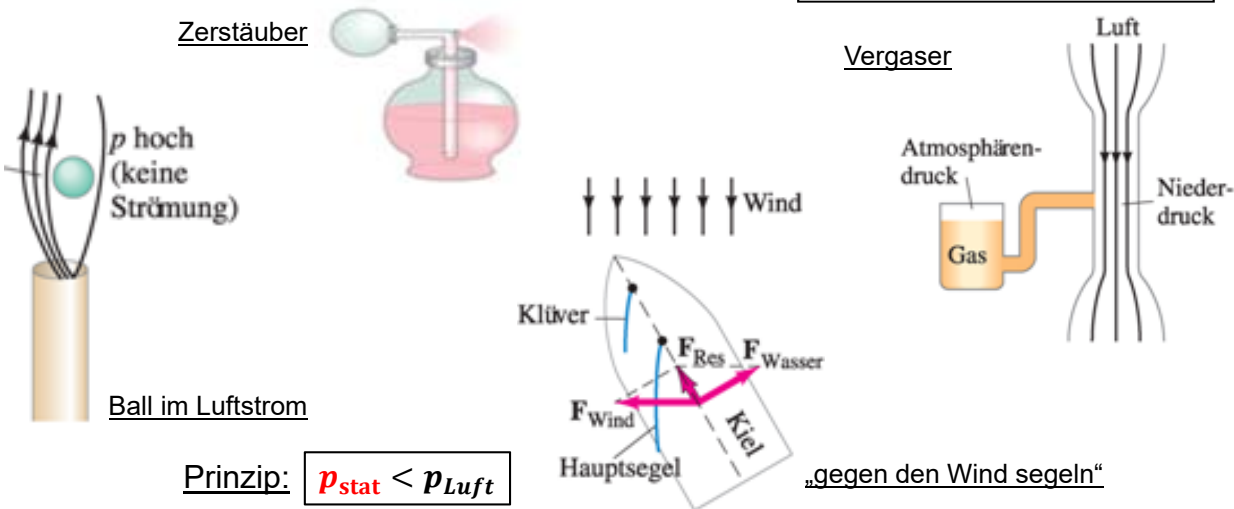
 Heinrich Heine
Universität
Düsseldorf
$$\frac{\rho \cdot v^2}{2} + \rho \cdot g \cdot h + p_{\text{stat}} = p_0$$


Prinzip: $p_{\text{stat}} < p_{\text{Luft}}$

6.4.1 Hydrodynamik idealer Fluide

Bernoulli-Gleichung: Anwendungen

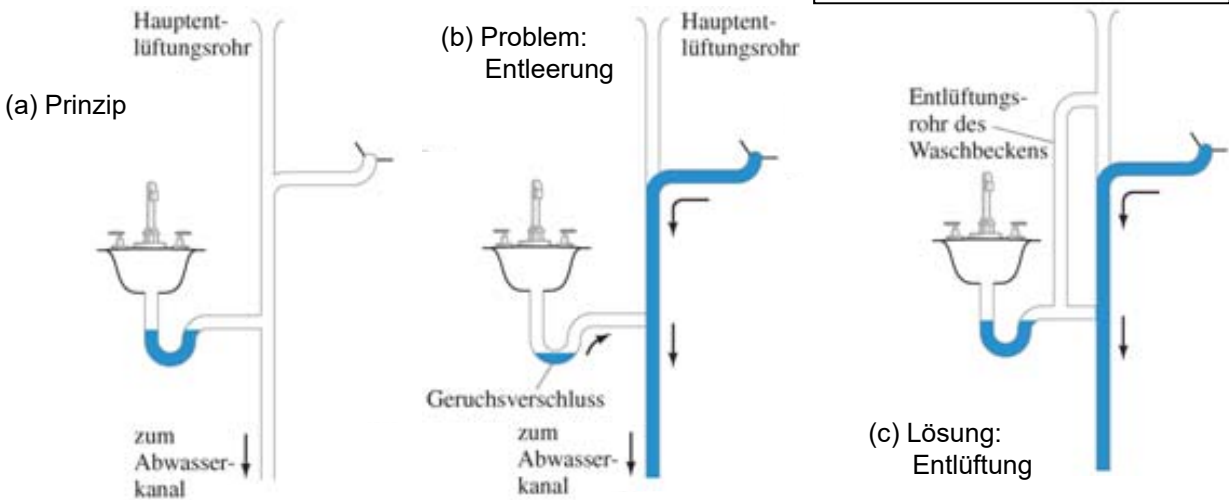
$$\frac{\rho \cdot v^2}{2} + \rho \cdot g \cdot h + p_{\text{stat}} = p_0$$



6.4.1 Hydrodynamik idealer Fluide

Entlüftung von Abflussrohren:

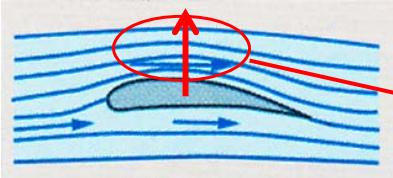
$$\frac{\rho \cdot v^2}{2} + \rho \cdot g \cdot h + p_{\text{stat}} = p_0$$



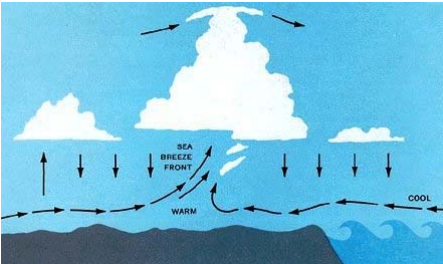
7.4.3 Hydrodynamik idealer Fluide



Hydrodynamischer Auftrieb:



Aerostatischer Druck über
kleiner als unter der Tragfläche
⇒ aero- bzw. hydro-
dynamischer Auftrieb



Segelflugzeug: „Fliegen“ ohne Motor ... gelingt nur unter Ausnützung von Aufwinden

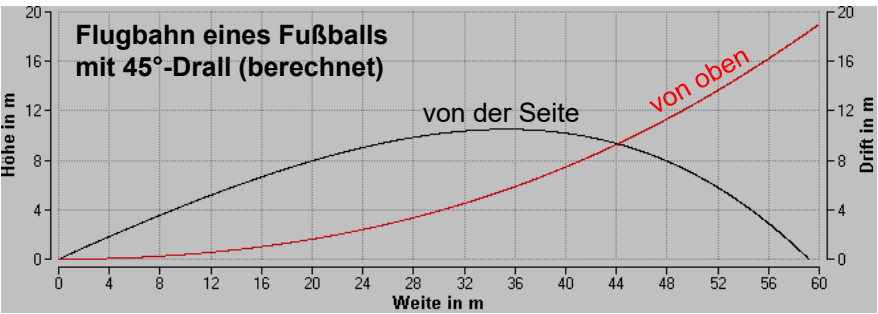
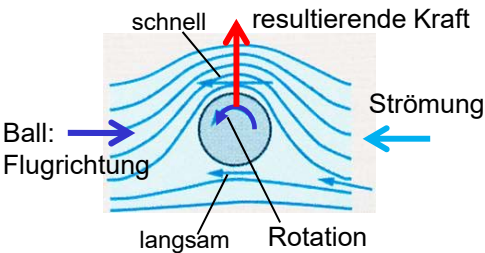
6.4.1 Hydrodynamik idealer Fluide



Der Magnus-Effekt:

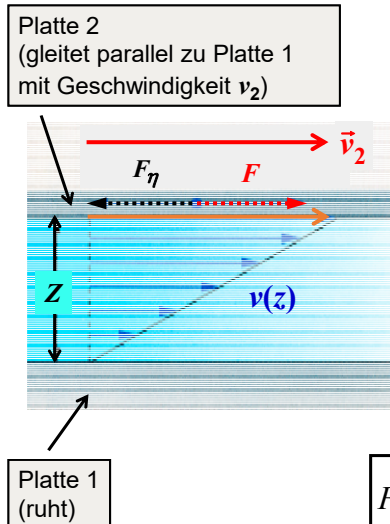
Rotierende Körper werden von einer Strömung in Normalrichtung abgelenkt.

Bsp. Sport: Bälle mit Drall



6.4.2 Hydrodynamik viskoser Fluide

Die Viskosität (Zähigkeit)



Fluidteilchen an der Grenzfläche haften an der Festkörperoberfläche.

Fluidteilchen im Fluid haften aneinander

⇒ Strömungsgeschwindigkeit variiert senkrecht zur Bewegungsrichtung: $v = v(z)$

Einzelne Fluidschichten bewegen sich mit unterschiedlichen Geschwindigkeiten und „reiben“ aneinander, da die Fluidteilchen miteinander wechselwirken.

Zur Aufrechterhaltung der Bewegung von Platte 2 mit v_2 : Kraft $\vec{F} = -\vec{F}_{\eta}$ in Richtung der Bewegung muss auf Platte 2 wirken!

$$F_{\eta} = -\eta \cdot \frac{v \cdot A}{z}$$

η heißt **Viskosität** des Fluids

6.4.2 Hydrodynamik viskoser Fluide

Die Viskosität (Zähigkeit)

$$F_{\eta} = -\eta \cdot \frac{v \cdot A}{z}$$

$$\eta = -F_{\eta} \cdot \frac{z}{v \cdot A}$$

- die Dimension der Viskosität ist:
Kraft × Weg / (Geschwindigkeit × Fläche) oder **Masse / (Zeit × Weg)**
- die SI-Einheit der Viskosität ist „**kg/(m·s)**“ = Pa·s
- alternative Einheit (*nicht-SI*!): 1 P = 0,1 kg/(m·s) (1 Poise)
- bei einer Flüssigkeit mit $\eta = 1 \text{ kg/(m·s)}$ ist eine Kraft von $F = 1 \text{ N}$ notwendig, um eine Platte ($A = 1 \text{ m}^2$) im Abstand von $z = 1 \text{ m}$ über dem Boden mit $v = 1 \text{ m/s} = \text{const}$ vorwärts zu ziehen.

Beispiele:

Wasser:	$\eta = 1,0 \text{ mPa·s}$ (bei $T = 20^\circ\text{C}$)
Pentan:	$\eta = 0,23 \text{ mPa·s}$
Blut:	$\eta \approx 20 \text{ mPa·s}$
Olivenöl:	$\eta \approx 100 \text{ mPa·s}$
Glycerin:	$\eta = 1480 \text{ mPa·s}$

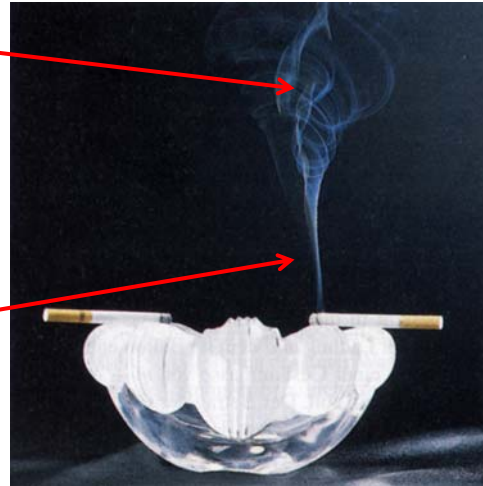
6.4.2 Hydrodynamik viskoser Fluide

Laminare Strömungen:

- Eine Strömung ist **laminar**, solange
 - die innere Reibung (d.h. Viskosität) die Bewegung der einzelnen Teilchen bestimmt.
 - die Strömungsgeschwindigkeit klein genug ist, so dass einzelne Fluidschichten aneinander vorbei gleiten, ohne sich zu "verwirbeln"
- bei zu hohen Flußgeschwindigkeiten verwirbeln einzelne Fluidschichten, die Strömung ist dann **turbulent**.

turbulent

laminar



6.4.2 Hydrodynamik viskoser Fluide

Laminare und turbulente Strömungen:

Die **Reynolds-Zahl** Re

$$Re = \frac{r \cdot \rho \cdot v}{\eta}$$

r - typische Quer-Längenskala der Strömung (z.B. Rohrdurchmesser)

ρ - Dichte des Fluids

v - Strömungsgeschwindigkeit

η - Viskosität des Fluids

gibt an, ob viskose Strömung *laminar* oder *turbulent* ist.

Z.B.: Für Strömung in einem **Rohr mit Radius r** :

$Re \ll 1200$ Strömung laminar

$Re \approx 1200$ Unbestimmt

$Re \gg 1200$ Strömung turbulent

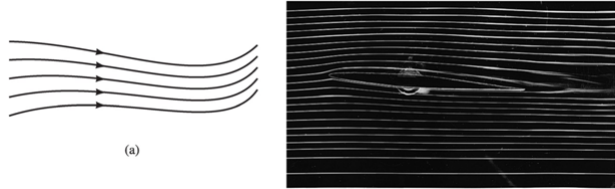
Für jede geometrische Situation gibt es einen eigenen Grenzwert!

6.4.2 Hydrodynamik viskoser Fluide

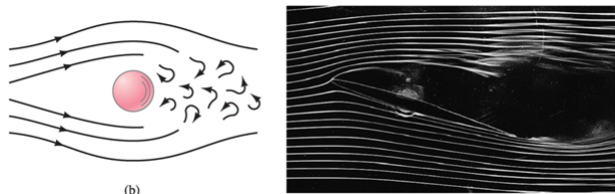


Laminare und turbulente Strömungen:

Strömung laminar



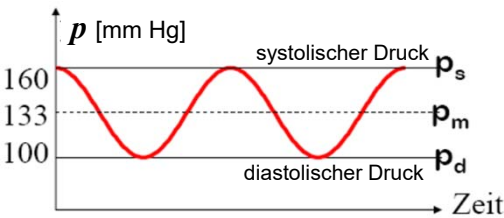
Strömung turbulent



6.4.2 Hydrodynamik viskoser Fluide

Anwendung: Blutdruckmessung

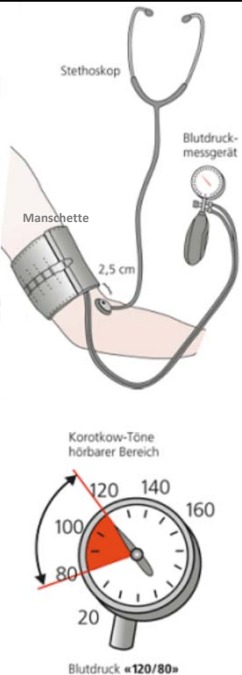
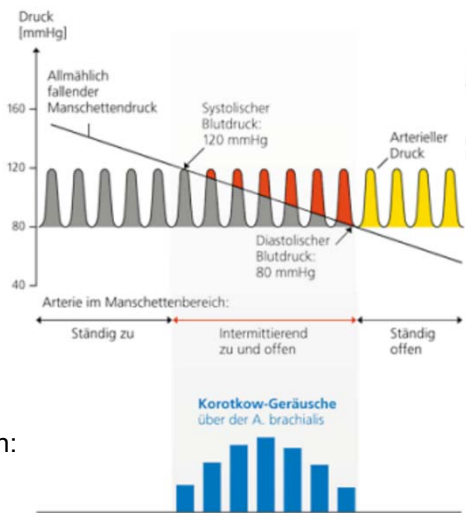
Bei jedem Herzschlag wird eine Pulswelle entlang der Arterien erzeugt:



Das Blut fließt in der Regel laminar.

Wenn die Arterie so komprimiert ist, dass Durchfluss nur beim höchsten Druck möglich:

→ turbulente Strömung



6.4.2 Hydrodynamik viskoser Fluide

Laminare Strömung durch ein kreisrundes Rohr

Antrieb: Druckdifferenz ($p_1 - p_2$)

Widerstand: Laminare Reibung

→ Geschwindigkeitsprofil im Rohr:

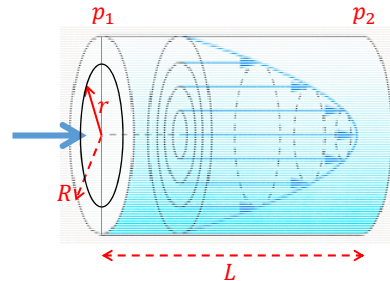
$$v(r) = \frac{1}{4 \cdot \eta} \cdot \frac{p_1 - p_2}{L} \cdot (R^2 - r^2)$$

Volumenfluss: $\frac{dV}{dt} = \int v(r) \cdot dA = \int_0^R v(r) \cdot 2r\pi \cdot dr$

$$\left[\frac{dV}{dt}\right] = \text{l/s, m}^3/\text{s}$$

$$\frac{dV}{dt} = \frac{\pi}{8 \cdot \eta} \cdot \frac{p_1 - p_2}{L} \cdot R^4$$

Gesetz von Hagen-Poiseuille

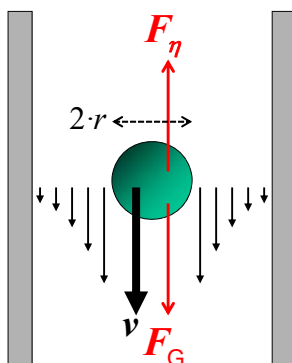


Volumenfluss ist

- proportional zur Druckdifferenz zwischen den Enden
- umgekehrt proportional zur Länge des Rohres
- umgekehrt proportional zur Viskosität
- proportional zur vierten Potenz des Rohrradius, d.h. Halbierung des Rohrdurchmessers reduziert Volumenstrom auf $(1/2)^2 = 1/16$!

6.4.2 Hydrodynamik viskoser Fluide

Laminare Strömung um eine Kugel



Gesetz von Stokes

$$F_\eta = -6\pi \cdot \eta \cdot v \cdot r$$

(Reibungskraft auf eine Kugel mit Geschwindigkeit v)

Im Gleichgewicht: $F_\eta + (F_g - F_A) = 0$

Kompensation durch Gewichtskraft (minus Auftrieb)

Kugelfall-Viskosimeter

Verwendung zur Bestimmung der Viskosität eines Fluids:

Wenn sich $F_\eta = -F_g$ eingestellt hat (Auftrieb vernachlässigt):

Konstante Fallgeschwindigkeit $v = \frac{m \cdot g}{6\pi \cdot \eta \cdot r}$

→ Viskosität: $\eta = \frac{m \cdot g}{6\pi \cdot v \cdot r}$